

HADRONER

Pauli principen

Resonanser

→ boken 5.3

Kvark diagram

→ boken 5.4

Mesoner ($q\bar{q}$)

Spinnvågfunktion

→ boken 6.2

Flavour vågfunktion

→ boken 5.2+6.2

Colour vågfunktion

→ boken 6.3

Weight diagram

→ boken 6.2

Meson spektrum

Tung-meson spektroskopি → boken 6.1

Baryoner (qqq)

Spinnvågfunktion

→ boken 6.2

Flavour vågfunktion

→ boken 5.2+6.2

Colour vågfunktion

→ boken 6.3

Weight diagram

→ boken 6.2

Baryon spektrum

HADRONER

- Den totala våg funktionen för en hadron kan skrivas som en produkt av våg funktioner:

$$\Psi_{\text{total}} = \Psi_{\text{space}} \cdot \Psi_{\text{spin}} \cdot \Psi_{\text{flavour}} \cdot \Psi_{\text{colour}}$$

$\downarrow \quad \downarrow \quad \downarrow \quad \downarrow$

$n, L, L_2 \quad S, S_2 \quad I, I_2, Y \quad I^c, I_2^c, Y^c$

- Fermioner ($S = \frac{1}{2}, \frac{3}{2} \dots$):

Dessa följer Fermi-Dirac statistik och har antisymmetriska våg funktioner.

- Bosoner ($S = 0, 1, 2 \dots$):

Dessa följer Bose-Einstein statistik och har symmetriska våg funktioner.

- Pauli principen:

- Två identiska fermioner kan inte existera i samma kvant tillstånd dvs ha exakt samma kvanttal.
- En våg funktion som beskriver ett system bestående av två eller mer identiska fermioner måste vara antisymmetrisk.

• Symmetrisk - Antisymmetrisk vägfunktion:

I) Två identiska fermioner

$$\Psi(1,2) = +1 \cdot \Psi(2,1)$$

$$\Psi(1,2) = -1 \cdot \Psi(2,1)$$

Symmetrisk vägfunktion

Antisymmetrisk vägfunktion

II) Tre identiska fermioner

$$\Psi(1,2,3) = \begin{cases} = +1 \cdot \Psi(2,1,3) \\ = +1 \cdot \Psi(3,2,1) \\ = +1 \cdot \Psi(1,3,2) \end{cases}$$

Symmetrisk vägfunktion

$$\Psi(1,2,3) = \begin{cases} = -1 \cdot \Psi(2,1,3) \\ = -1 \cdot \Psi(3,2,1) \\ = -1 \cdot \Psi(1,3,2) \end{cases}$$

Antisymmetrisk vägfunktion

$$\Psi(1,2,3) = \begin{cases} = +1 \cdot \Psi(2,1,3) \\ \neq \pm 1 \cdot \Psi(3,2,1) \\ \neq \pm 1 \cdot \Psi(1,3,2) \end{cases}$$

Mixed symmetrisk vägfunktion

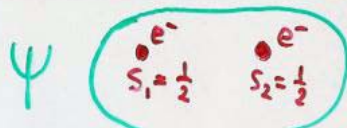
$$\Psi(1,2,3) = \begin{cases} = -1 \cdot \Psi(2,1,3) \\ \neq \pm 1 \cdot \Psi(3,2,1) \\ \neq \pm 1 \cdot \Psi(1,3,2) \end{cases}$$

Mixed antisymmetrisk
vägfunktion

Exempel:

Ett system bestående av två elektroner med $L=0$,

Om vi använder beteckningarna $\alpha = |\frac{1}{2} \frac{1}{2}\rangle$ och $\beta = |\frac{1}{2} -\frac{1}{2}\rangle$ för de enskilda elektronernas spinvägfunktioner får vi följande totala vägfunktioner:



$$\Psi = \begin{cases} S_{S_2} \\ |11\rangle = \alpha_1 \alpha_2 \\ |1-\rangle = \beta_1 \beta_2 \\ |10\rangle = \frac{1}{\sqrt{2}} (\alpha_1 \beta_2 + \beta_1 \alpha_2) \\ |00\rangle = \frac{1}{\sqrt{2}} (\alpha_2 \beta_1 - \beta_2 \alpha_1) \end{cases} \xrightarrow{1 \rightarrow 2} \begin{aligned} \alpha_2 \alpha_1 &= \alpha_1 \alpha_2 \\ \beta_2 \beta_1 &= \beta_1 \beta_2 \\ \frac{1}{\sqrt{2}} (\alpha_2 \beta_1 + \beta_2 \alpha_1) &= \frac{1}{\sqrt{2}} (\beta_2 \alpha_1 + \alpha_2 \beta_1) = \frac{1}{\sqrt{2}} (\alpha_1 \beta_2 + \beta_1 \alpha_2) \\ \frac{1}{\sqrt{2}} (\alpha_2 \beta_1 - \beta_2 \alpha_1) &= -\frac{1}{\sqrt{2}} (\beta_2 \alpha_1 - \alpha_2 \beta_1) = -\frac{1}{\sqrt{2}} (\alpha_1 \beta_2 - \beta_1 \alpha_2) \end{aligned}$$

För en symmetrisk vägfunktion gäller: $\Psi(1,2) = \Psi(2,1)$

För en antisymmetrisk vägfunktion gäller: $\Psi(1,2) = -\Psi(2,1)$

Dvs $|11\rangle$, $|1-\rangle$ och $|10\rangle$ är symmetriska vägfunktioner och $|00\rangle$ är en antisymmetrisk vägfunktion.

⇒ Endast $\Psi = |00\rangle$ uppfyller Pauli principen

① Pauli principen

Mesoner:

Mesoner som är uppbyggda av en kvark och en antikvark (dvs fermioner som inte är identiska) kan ha både symmetrisk och antisymmetrisk total vägfunction. Dvs de behöver ej följa Pauli principen.

Baryoner:

Baryonerna är däremot ibland uppbyggda av tre identiska kvarkar (tex $\Delta^-=\text{ddd}$, $\Delta^{++}=\text{uuu}$, $\Omega^-=\text{sss}$). Dessa måste följa Pauli-principen och ha en total vägfunction som är antisymmetrisk.

För Δ^- , Δ^{++} och Ω^- gäller

$$\underbrace{\Psi_{\text{total}}}_{\text{antisym.}} = \underbrace{\Psi_{\text{spin}}}_{\text{sym.}} \otimes \underbrace{\Psi_{\text{flavar}}}_{\text{sym.}} \otimes \underbrace{\Psi_{\text{colour}}}_{\text{sym.}}$$

$\Rightarrow \Psi_{\text{colour}}$ måste vara antisymmetrisk.

Oranstdiende resonemang är en av anledningarna till att den frihetsgrad som kallas colour måste införas!

• $\Psi_{space} \cdot \Psi_{spin} \cdot \Psi_{flavour} = \Psi_{total}$

| | | | |
|------|------|------|------|
| sym | sym | sym | sym |
| anti | sym | sym | anti |
| anti | anti | sym | sym |
| anti | anti | anti | anti |

• J-kvanttalet:

$$\begin{cases} J = L + S, \dots, |L-S| \\ J_z = -J, \dots, +J \end{cases}$$

dvs om $L=0$ är $J=S$.

• Spektroskopiska beteckningar:

$$I(J^P) \quad \text{tex} \quad \text{II}^0 = I(0^-) \quad P = \frac{1}{2}(\frac{1}{2}^+)$$

$$^{2S+1}L_J \quad \text{tex} \quad \text{II}^0 = ^1S_0 \quad P = ^2S_{\frac{1}{2}}$$

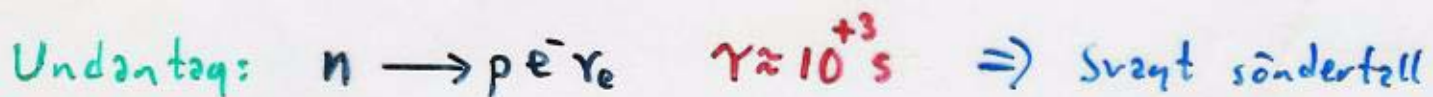
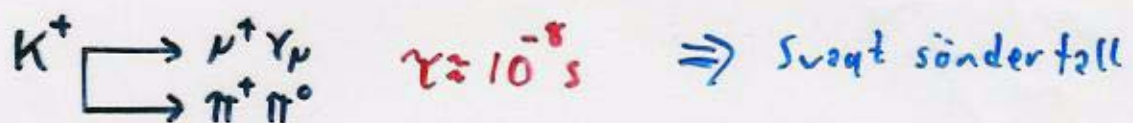
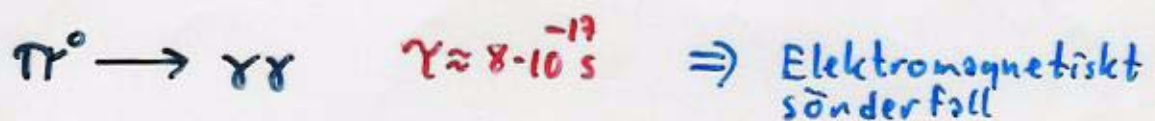
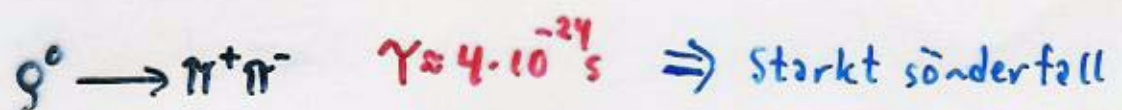
↓

S, P, D, \dots

- Hur kan man från livstiden sluta sig till vilken typ av sönderfall en hadron kan ha?

| <u>Växelverkan</u> | <u>Livstid (s)</u> |
|--------------------|---------------------------------|
| Stark | $10^{-22} \rightarrow 10^{-24}$ |
| Elektromagnetisk | $10^{-16} \rightarrow 10^{-21}$ |
| Svag | $10^{-7} \rightarrow 10^{-13}$ |

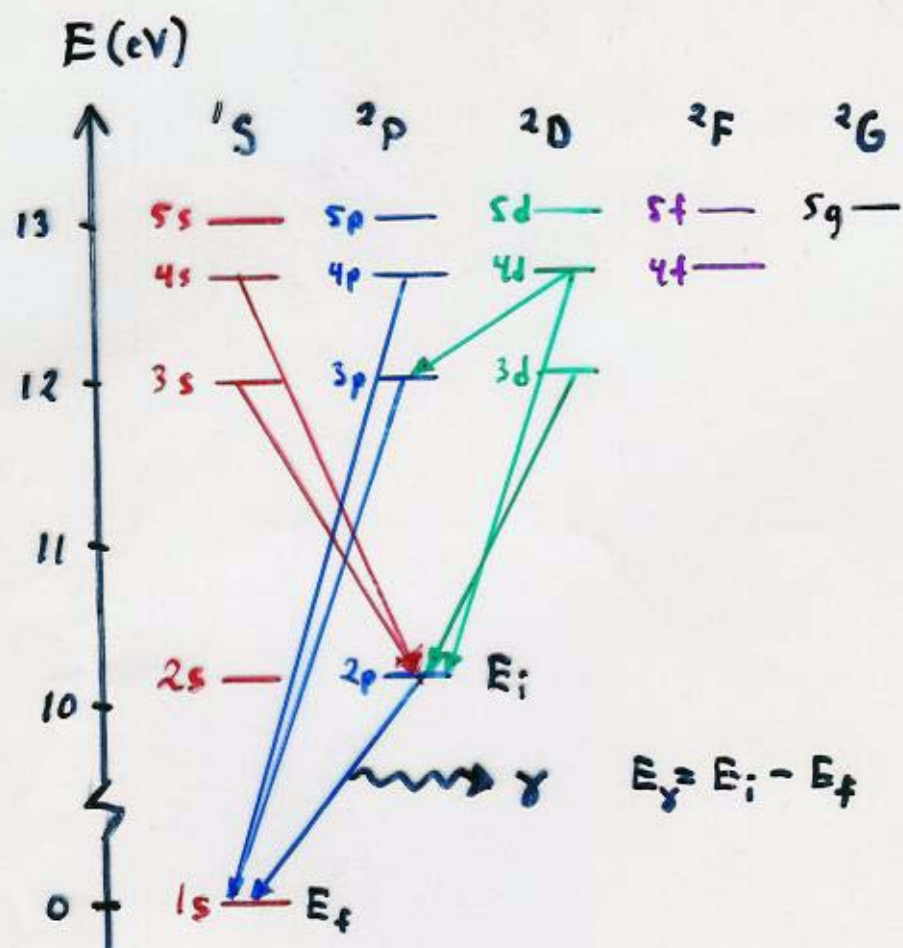
Exempel:



- Stabila partiklar: Partiklar som sönderfaller svagt eller elektromagnetiskt.

- Resonanser: Partiklar som sönderfaller starkt.

Väteatomens spektrum



Om vi mäter E_γ för vi inte en oändligt skarp spektrallinje. Utan vi för pga Heisenbergs osäkerhetsrelation ($\Delta E \cdot \Delta t \geq \hbar$) en breddning Γ av spektrallingen med ΔE .

Δt i detta fall ges av tillståndets sönderfallstid Γ .

Vidden på spektrallingen (Γ) definieras som $\Gamma = \frac{\hbar}{\gamma}$

Resonanser

$$\Delta E \cdot \Delta t \geq \hbar$$

$$1/\gamma_{\text{GeV}} = 6.582 \cdot 10^{-25} \text{ s}$$

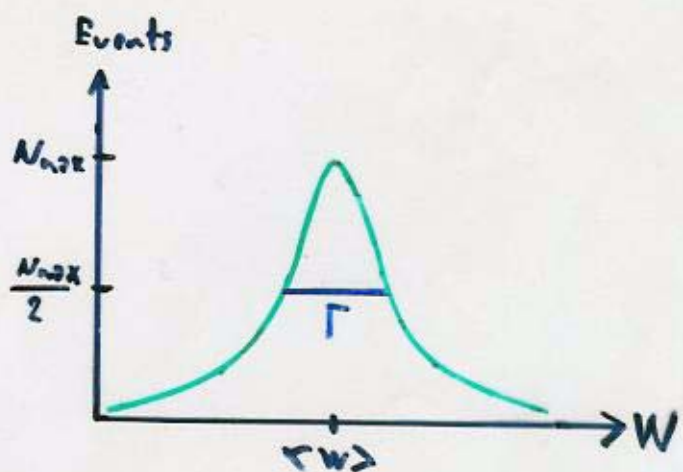
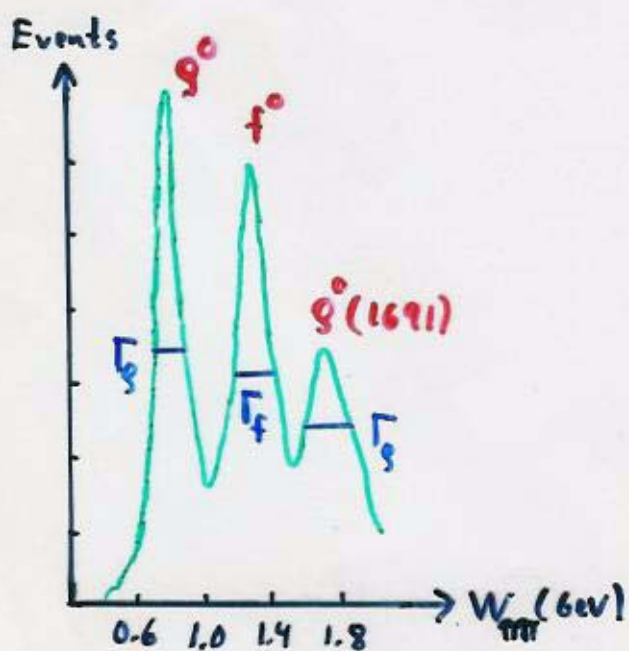
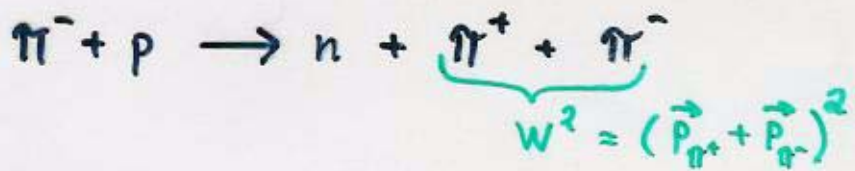
$$\Rightarrow \Gamma(\text{GeV}) = \frac{6.582 \cdot 10^{-25}}{\gamma(\text{s})}$$

där Γ är resonansens "decay width" och
 γ är resonansens livstid.

Exempel:

| | | |
|----------|---|---------------------------------------|
| η^0 | $\gamma \approx 4 \cdot 10^{-24} \text{ s}$ | $\Gamma = 153 \text{ MeV}$ |
| π^0 | $\gamma \approx 8 \cdot 10^{-19} \text{ s}$ | $\Gamma = 8 \text{ eV}$ |
| K^+ | $\gamma \approx 10^{-8} \text{ s}$ | $\Gamma = 5 \cdot 10^{-9} \text{ eV}$ |

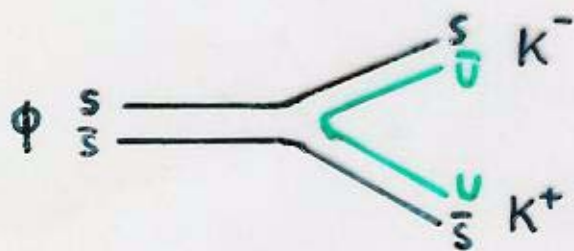
Exempel:



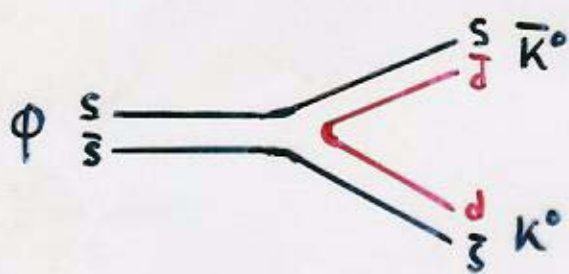
Breit-Wigner formeln: $N(w) = \frac{K}{(w - \langle w \rangle)^2 + \frac{1}{4}\Gamma^2}$

Kvark diagram

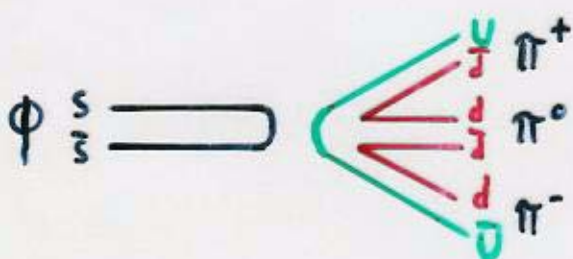
Φ -mesonen söndertäller i 50% av fallen till K^+K^- , i 34% av fallen till $K^0\bar{K}^0$ och i 2% av fallen till $\pi^+\pi^-\pi^0$. Dessa sönderfall kan illustreras med kvark diagram:



$$\Phi \rightarrow K^- + K^+ \\ Br = 50\%$$



$$\Phi \rightarrow \bar{K}^0 + K^0 \\ Br = 34\%$$

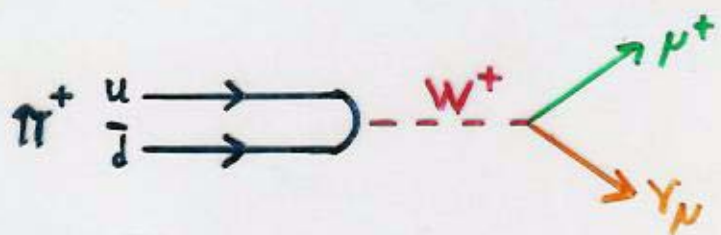


$$\Phi \rightarrow \pi^+ + \pi^- + \pi^0 \\ Br = 2\%$$

Ozi (eller Zweig) regeln:

Söndertall som beskrivs av avbrutna kvarklinjer är undertryckta.

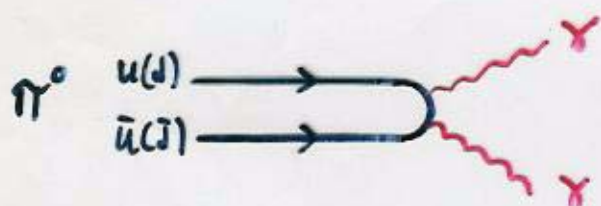
Exempel på svagt sönderfall:



$$\pi^+ \rightarrow \mu^+ \nu_\mu$$

$B_r \approx 100\%$

Exempel på elektromagnetiskt sönderfall:



$$\pi^0 \rightarrow \gamma\gamma$$

$B_r \approx 99\%$

Mesoner

- $J^P = 0^+$ "Scalar mesons"
- $J^P = 0^-$ "Pseudoscalar mesons"
- $J^P = 1^+$ "Axial vector mesons"
- $J^P = 1^-$ "Vector mesons"

- Exempel på vektor mesoner:

$$\phi \approx s\bar{s} \quad m \approx 1 \text{ GeV}$$

$$\gamma/\psi \approx c\bar{c} \quad m \approx 3 \text{ GeV}$$

$$\Upsilon \approx b\bar{b} \quad m \approx 9,5 \text{ GeV}$$

- Exempel på pseudoskalärmesoner:

$$K = \bar{u}s, \bar{d}s, \bar{u}\bar{s}, \bar{d}\bar{s} \quad m \approx 0,5 \text{ GeV}$$

$$D = \bar{u}c, \bar{d}c, \bar{u}\bar{c}, \bar{d}\bar{c} \quad m \approx 2 \text{ GeV}$$

$$B = \bar{u}b, \bar{d}b, \bar{u}\bar{b}, \bar{d}\bar{b} \quad m \approx 5 \text{ GeV}$$

- $\Psi_{\text{total}} = \Psi_{\text{space}} \cdot \Psi_{\text{spin}} \cdot \Psi_{\text{flavour}} \cdot \Psi_{\text{colour}}$

Mesonens

$$\Psi_{\text{spinn}} - \text{SU}(2)$$

$$\text{Spin up} = \Psi_{\psi_1}^{+} = |\frac{1}{2} \frac{1}{2}\rangle = \alpha = \uparrow = \Psi_u$$

$$\text{Spin ner} = \Psi_{-\psi_1}^{+} = |\frac{1}{2} -\frac{1}{2}\rangle = \beta = \downarrow = \Psi_d$$

Mesoners spinnvägfunktioner

$SU(2)$ symmetrisk tripllett

$$\left\{ \begin{array}{l} |11\rangle = \alpha_1 \alpha_2 \\ |10\rangle = \frac{1}{\sqrt{2}}(\alpha_1 \beta_2 + \beta_1 \alpha_2) \\ |1-1\rangle = \beta_1 \beta_2 \end{array} \right. \quad \left. \begin{array}{l} s=s_1 \\ s=s_2 \end{array} \right\} = \Psi_{S=1}^{\text{sym.}}$$

$SU(2)$ antisymmetrisk singlett

$$\left\{ |00\rangle = \frac{1}{\sqrt{2}}(\alpha_1 \beta_2 - \beta_1 \alpha_2) \right. \quad \left. = \Psi_{S=0}^{\text{anti}} \right.$$

dvs mesonen har spinn $S=0$ eller $S=1$.

Mesonens

$$\Psi_{\text{flavour}} - \text{SU}(3)$$

I I, Y

$$\text{flavour up} = |\frac{1}{2} \frac{1}{2} \frac{1}{3}\rangle = u$$

$$\text{flavour down} = |\frac{1}{2} -\frac{1}{2} \frac{1}{3}\rangle = d$$

$$\text{flavour strange} = |0 0 -\frac{2}{3}\rangle = s$$

Flavour kvanttal

| | I | I_3 | γ |
|-----------|---------------|----------------|----------------|
| u | $\frac{1}{2}$ | $\frac{1}{2}$ | $\frac{1}{3}$ |
| \bar{u} | $\frac{1}{2}$ | $-\frac{1}{2}$ | $-\frac{1}{3}$ |
| d | $\frac{1}{2}$ | $-\frac{1}{2}$ | $\frac{1}{3}$ |
| \bar{d} | $\frac{1}{2}$ | $\frac{1}{2}$ | $-\frac{1}{3}$ |
| s | 0 | 0 | $-\frac{2}{3}$ |
| \bar{s} | 0 | 0 | $+\frac{2}{3}$ |

$SU(3)$
symmetrisk
oktett

$$\left\{ \begin{array}{l} |100\rangle = \frac{1}{\sqrt{3}}[(d\bar{d} - u\bar{u}) + (\bar{d}\bar{d} - \bar{u}\bar{u})] \\ |110\rangle = \frac{1}{\sqrt{2}}(u\bar{d} + \bar{d}u) \\ |1-10\rangle = -\frac{1}{\sqrt{2}}(d\bar{u} + \bar{u}d) \\ |1\frac{1}{2}\frac{1}{2}1\rangle = \frac{1}{\sqrt{2}}(u\bar{s} + \bar{s}u) \\ |1\frac{1}{2}\frac{1}{2}-1\rangle = \frac{1}{\sqrt{2}}(d\bar{s} + \bar{s}d) \\ |1\frac{1}{2}-\frac{1}{2}-1\rangle = -\frac{1}{\sqrt{2}}(s\bar{u} + \bar{u}s) \\ |1\frac{1}{2}\frac{1}{2}-1\rangle = -\frac{1}{\sqrt{2}}(s\bar{d} + \bar{d}s) \\ |000\rangle = \frac{1}{\sqrt{12}}[(u\bar{u} + d\bar{d} - 2s\bar{s}) + (\bar{u}\bar{u} + \bar{d}\bar{d} - 2\bar{s}\bar{s})] \end{array} \right.$$

$\otimes \Psi_{S=0}^{\text{Anti}} \Rightarrow$

π^0
 π^+
 π^-
 K^+
 K^0
 K^-
 \bar{K}^0

η_s
 η_1

$SU(3)$
symmetrisk
singlett

$$\left\{ \begin{array}{l} |100\rangle = \frac{1}{\sqrt{3}}[(d\bar{d} - u\bar{u}) - (\bar{d}\bar{d} - \bar{u}\bar{u})] \\ |110\rangle = \frac{1}{\sqrt{2}}(u\bar{d} - \bar{d}u) \\ |1-10\rangle = -\frac{1}{\sqrt{2}}(d\bar{u} - \bar{u}d) \\ |1\frac{1}{2}\frac{1}{2}1\rangle = \frac{1}{\sqrt{2}}(u\bar{s} - \bar{s}u) \\ |1\frac{1}{2}\frac{1}{2}-1\rangle = \frac{1}{\sqrt{2}}(d\bar{s} - \bar{s}d) \\ |1\frac{1}{2}-\frac{1}{2}-1\rangle = -\frac{1}{\sqrt{2}}(s\bar{u} - \bar{u}s) \\ |1\frac{1}{2}\frac{1}{2}-1\rangle = -\frac{1}{\sqrt{2}}(s\bar{d} - \bar{d}s) \\ |000\rangle = \frac{1}{\sqrt{12}}[(u\bar{u} + d\bar{d} - 2s\bar{s}) - (\bar{u}\bar{u} + \bar{d}\bar{d} - 2\bar{s}\bar{s})] \\ |000\rangle = \frac{1}{\sqrt{16}}[(u\bar{u} + d\bar{d} + s\bar{s}) - (\bar{u}\bar{u} + \bar{d}\bar{d} + \bar{s}\bar{s})] \end{array} \right.$$

$\otimes \Psi_{S=1}^{\text{Symm}} \Rightarrow$

η^0
 η^+
 η^-
 K^{++}
 K^{*0}
 K^{*-}
 \bar{K}^{*0}

w_s
 w_1

$SU(3)$
Antisymmetrisk
oktett

$SU(3)$
Antisymmetrisk
singlett

Mesonens

$\Psi_{\text{colour}} - \text{SU}(3)$

$I^c I_3^c Y^c$

colour red $= |\frac{1}{2} \frac{1}{2} \frac{1}{3}\rangle = r$

colour green $= |\frac{1}{2} -\frac{1}{2} -\frac{1}{3}\rangle = g$

colour blue $= |0 0 -\frac{2}{3}\rangle = b$

"Colour"

- Kvarkar har inte bara smak ("flavour") utan också färg ("colour").

| | | | | | | | |
|----------|---------------|--|--|--|--|---------|-------|
| Flavour: | u-up | | | | | Colour: | r-red |
| | d-down | | | | | g-green | |
| | s-strangeness | | | | | b-blue | |
| | c-charm | | | | | | |
| | b-bottom | | | | | | |
| | t-top | | | | | | |

$\left. \begin{matrix} u \\ d \\ s \\ c \\ b \\ t \end{matrix} \right\}$ SU(3) $\left. \begin{matrix} r \\ g \\ b \end{matrix} \right\}$ SU(3)

- På samma sätt som anti-kvarkar har anti-flavour så har de också anti-colour ($\bar{r}, \bar{g}, \bar{b}$)

- $SU(3)$ -flavour: Global inre symmetri

$SU(3)$ -colour: "Local gauge symmetry"

\Rightarrow Relaterad till stark Växelverkan

- Kvanttal:

| $SU(3)$ flavour | I I ₃ Y | | | I' I' ₃ Y' | | | $SU(3)$ colour | | |
|--------------------|--------------------|---------------|----------------|-----------------------|-----------|---------------|-------------------|----------------|--|
| | u | $\frac{1}{2}$ | $\frac{1}{2}$ | $\frac{1}{3}$ | r | $\frac{1}{2}$ | $\frac{1}{2}$ | $\frac{1}{3}$ | |
| | \bar{u} | $\frac{1}{2}$ | $-\frac{1}{2}$ | $-\frac{1}{3}$ | \bar{r} | $\frac{1}{2}$ | $-\frac{1}{2}$ | $-\frac{1}{3}$ | |
| | d | $\frac{1}{2}$ | $-\frac{1}{2}$ | $\frac{1}{3}$ | g | $\frac{1}{2}$ | $-\frac{1}{2}$ | $\frac{1}{3}$ | |
| | \bar{d} | $\frac{1}{2}$ | $\frac{1}{2}$ | $-\frac{1}{3}$ | \bar{g} | $\frac{1}{2}$ | $\frac{1}{2}$ | $-\frac{1}{3}$ | |
| | s | 0 | 0 | $-\frac{2}{3}$ | b | 0 | 0 | $-\frac{2}{3}$ | |
| | \bar{s} | 0 | 0 | $+\frac{2}{3}$ | \bar{b} | 0 | 0 | $+\frac{2}{3}$ | |

"Colour" vägfunktioner

I^c I_j^c Y^c

| | | |
|---------------------------|---|-----------------------------|
| SU(3) octet | $ 1\ 0\ 0\rangle = \frac{1}{\sqrt{2}}(q\bar{q} - \bar{r}r)$ $ 1\ 1\ 0\rangle = r\bar{q}$ $ 1\ -1\ 0\rangle = \bar{r}q$ $ 1\frac{1}{2}\ \frac{1}{2}\ 1\rangle = r\bar{b}$ $ 1\frac{1}{2}\ -\frac{1}{2}\ 1\rangle = q\bar{b}$ $ 1\frac{1}{2}\ -\frac{1}{2}\ -1\rangle = \bar{r}b$ $ 1\frac{1}{2}\ \frac{1}{2}\ -1\rangle = \bar{q}b$ $ 0\ 0\ 0\rangle = \frac{1}{\sqrt{6}}(q\bar{q} - r\bar{r} - 2b\bar{b})$ | Gluonernas vägfunktioner |
| SU(3) singlet | $ 0\ 0\ 0\rangle = \frac{1}{\sqrt{3}}(r\bar{r} + q\bar{q} + b\bar{b})$ | Mesonernas vägfunktioner |

- Alla mesoner har en "colour" vägfunktion som ges av en "SU(3) singlet" dvs $I^c=0$ $I_j^c=0$ och $Y=0$.

- $\Psi_{\text{meson}} = \Psi_{\text{space}} \cdot \Psi_{\text{spin}} \cdot \Psi_{\text{flavour}} \cdot \frac{1}{\sqrt{3}}(r\bar{r} + q\bar{q} + b\bar{b})$

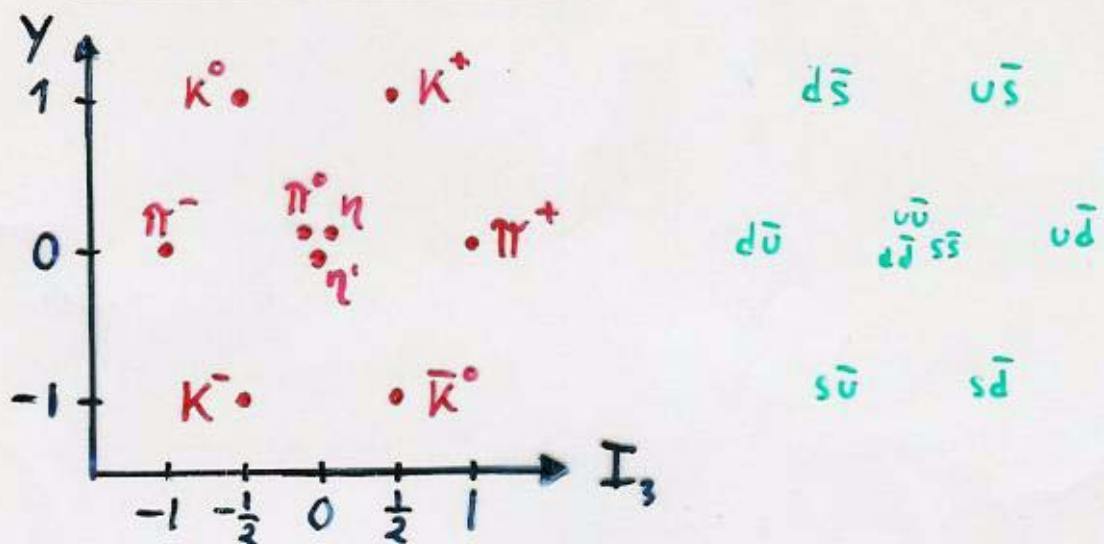
Exempel:

$$\Psi_{\pi^+} = |0\ 0\rangle \cdot |0\ 0\rangle \cdot |1\ 1\ 0\rangle \cdot |0\ 0\ 0\rangle$$

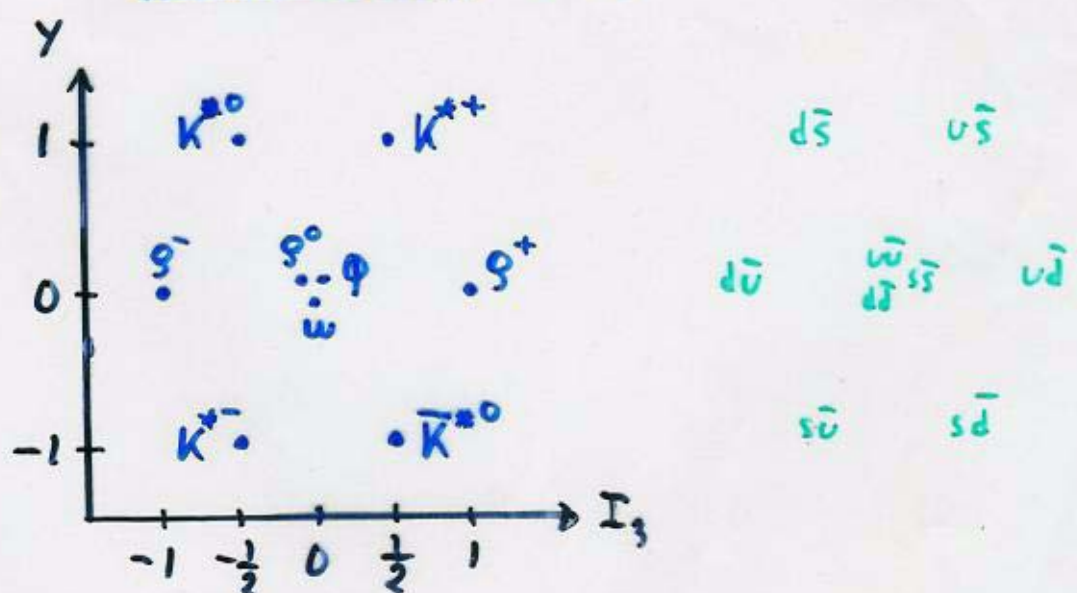
$$= \underbrace{\frac{1}{\sqrt{2}}(\alpha_1 \beta_2 + \beta_1 \alpha_2)}_{\frac{1}{\sqrt{2}}(U_d \bar{d}_f + U_f \bar{d}_d)} \cdot \underbrace{\underbrace{|1\ 1\ 0\rangle}_{U\bar{d}}} \cdot \underbrace{\frac{1}{\sqrt{3}}(r\bar{r} + q\bar{q} + b\bar{b})}_{\frac{1}{\sqrt{3}}(U_r \bar{d}_r + U_g \bar{d}_g + U_b \bar{d}_b)}$$

Weight diagram

Pseudoscalar mesons $J^P = 0^-$



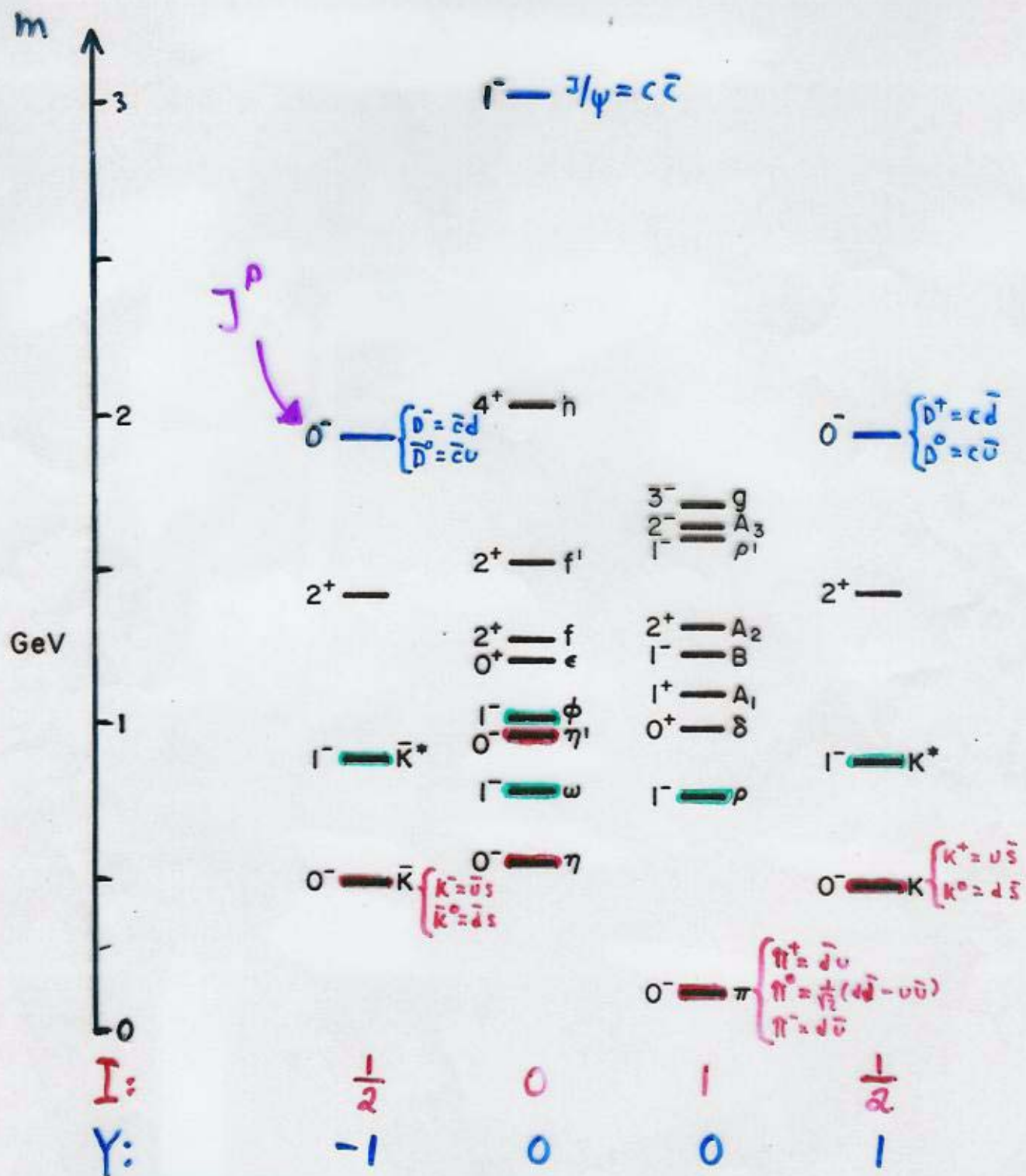
Vector mesons $J^P = 1^-$



$$Y = B + S$$

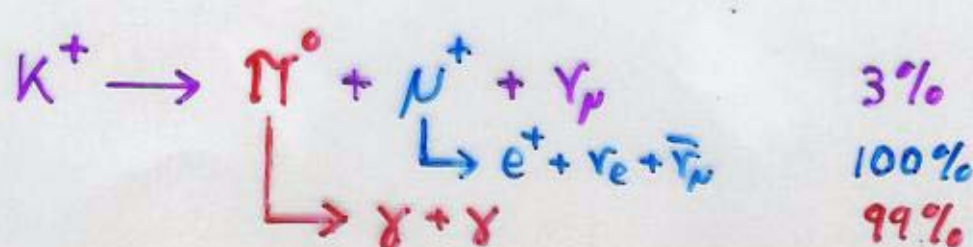
$SU(3)_{\text{flavour}}$

Meson spektrum



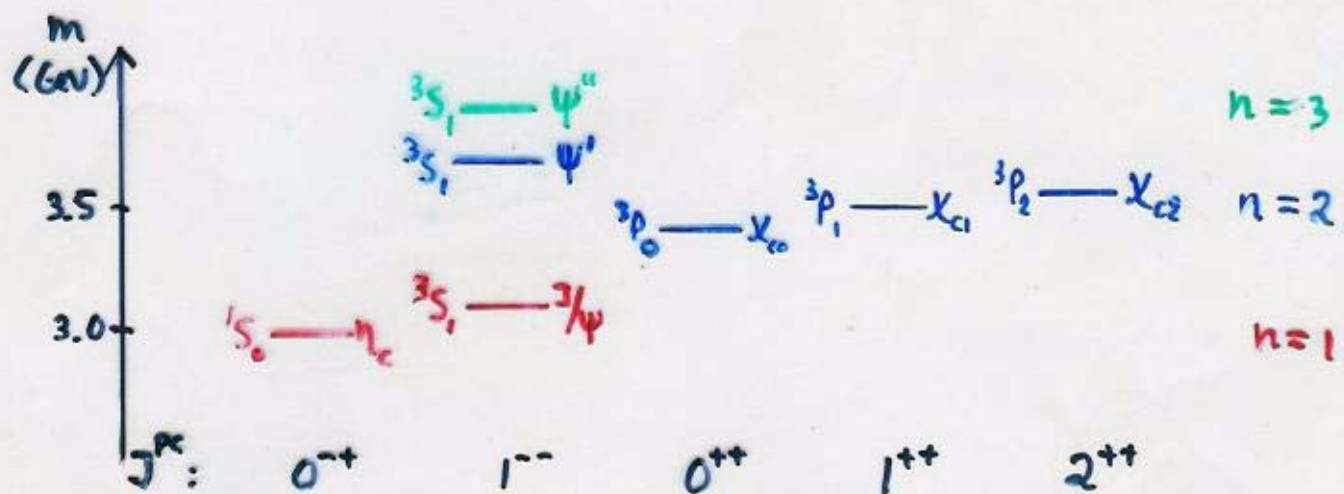
Ingen meson är fullständigt stabil utan alla mesoner sönderfaller till leptoner och fotoner.

Exempel:

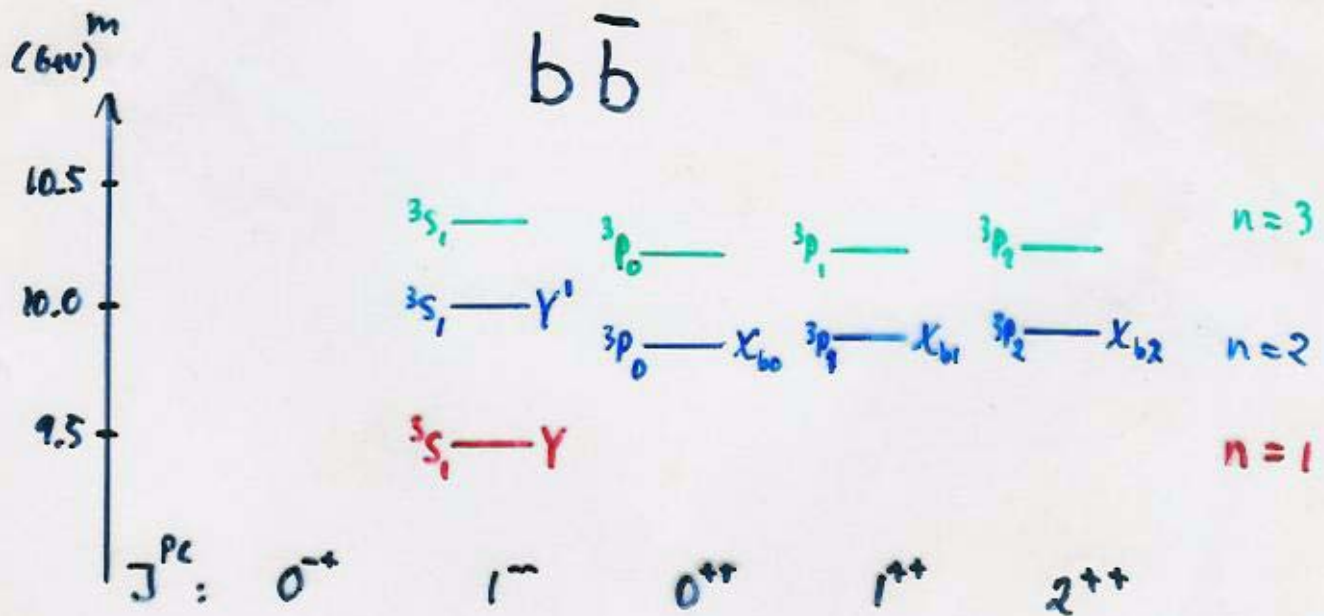


Tung-meson spektroskopie

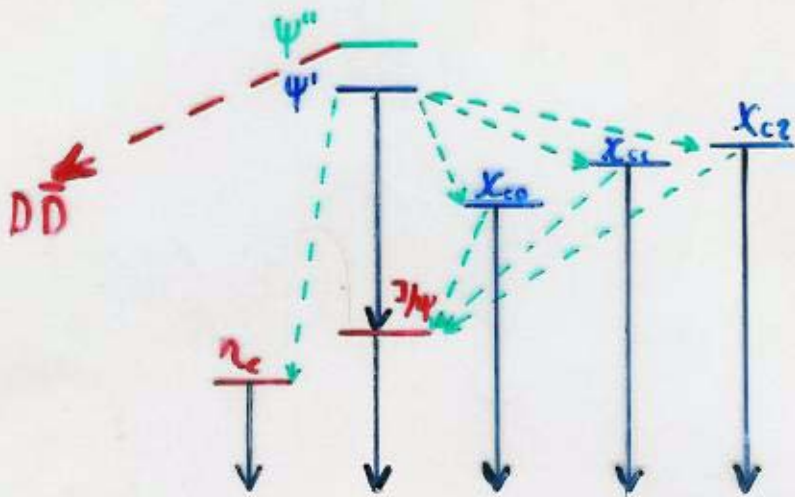
$C\bar{C}$



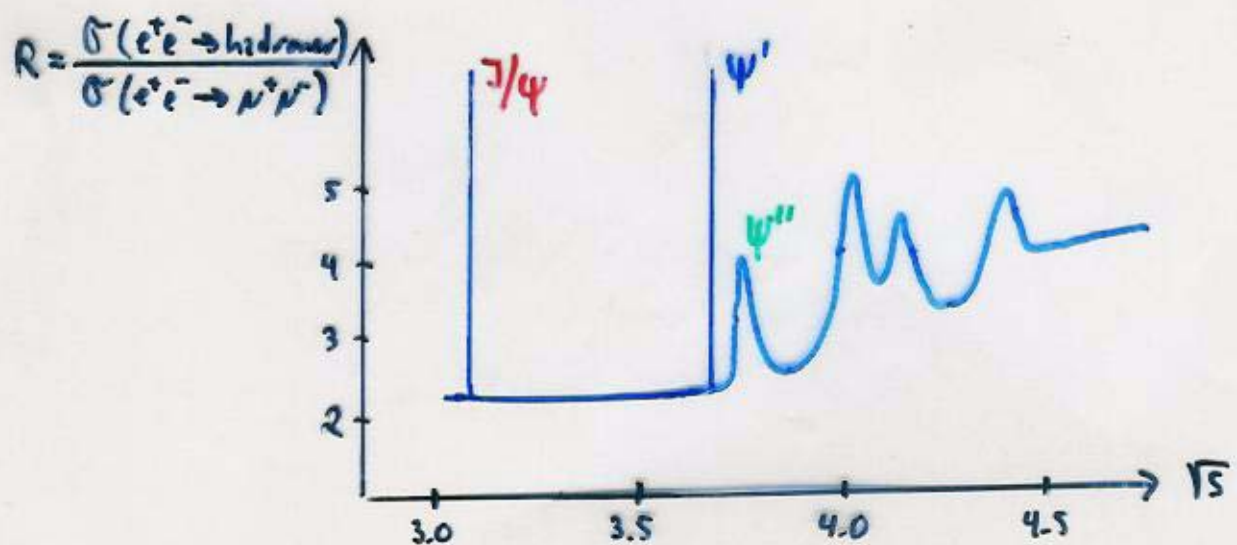
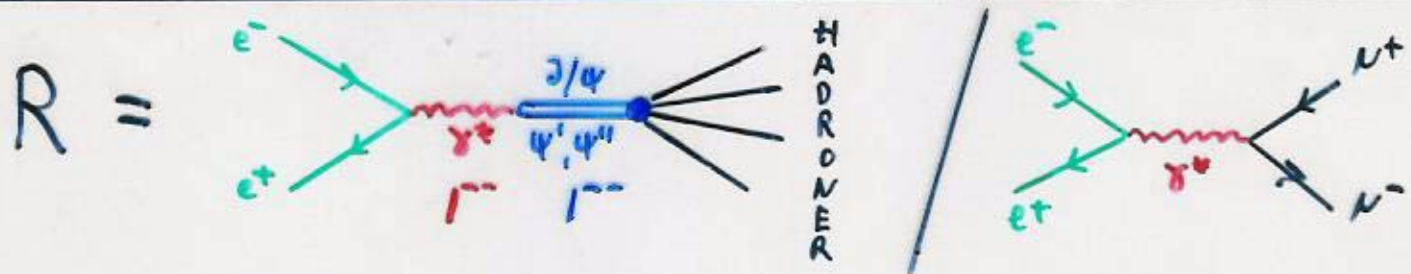
$b\bar{b}$



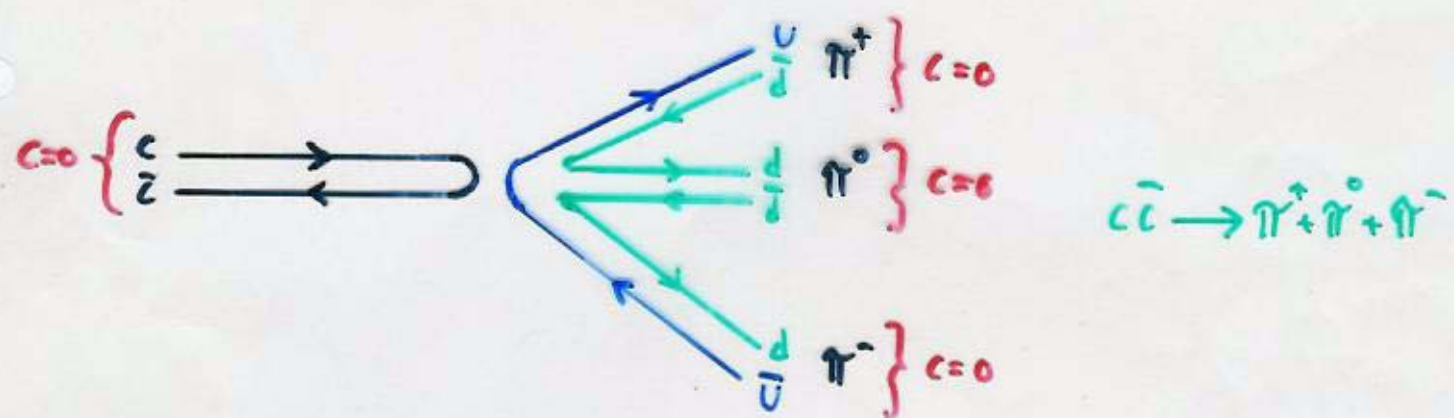
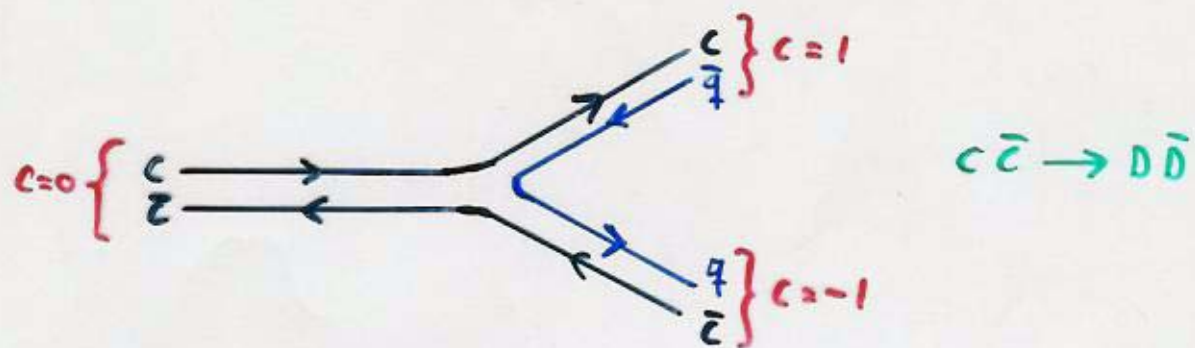
Sönderfall



- där
- \downarrow = Hadronska sönderfall tex $\Psi' \rightarrow J/\psi + \pi^+ + \pi^-$
 - \downarrow = Foton sönderfall ("radiative decays") tex $\Psi' \rightarrow \eta_c + \gamma$
 - \downarrow = $D\bar{D}$ -sönderfall tex $\Psi''' \rightarrow D\bar{D}$



Kvark diagram



OZI regeln säger att sönderfallet till 3π är undertryckt jämfört med sönderfallet till $D\bar{D}$.

ψ/ψ' har emellertid en massa $< 2m_D$, dvs energikonservering förbjuder den att sönderfalla till $D\bar{D}$.

Detta gör att ψ/ψ' blir långlivade.

$$\Psi_{\text{total}} = \Psi_{\text{space}} \cdot \Psi_{\text{spin}} \cdots \quad \text{iche-relativist.}$$



gives relativistic
dynamics of
DIRAC spinors

$$K^+ = u\bar{s}$$

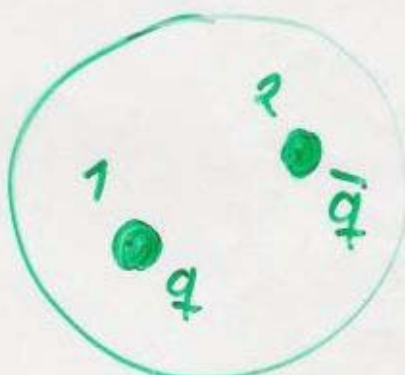
$$\Psi_{K^+} = \Psi_u \cdot \Psi_{\bar{s}}$$

$$|\frac{1}{2} \frac{1}{2} 1\rangle = |\frac{1}{2} \frac{1}{2} \frac{1}{3}\rangle |00\frac{2}{3}\rangle$$

$$\pi^0 = \frac{1}{\sqrt{2}} (u\bar{u} - d\bar{d})$$

$$\pi^0 = \frac{1}{\sqrt{2}} (u_1\bar{u}_2 - d_1\bar{d}_2)$$

$$\Psi_{\pi^0} = \frac{1}{\sqrt{2}} (\Psi_u^1 \Psi_{\bar{u}}^2 - \Psi_d^1 \Psi_{\bar{d}}^2)$$



$$|1100\rangle = \frac{1}{\sqrt{2}} (|\frac{1}{2}\frac{1}{2}\frac{1}{3}\rangle' |\frac{1}{2}-\frac{1}{2}-\frac{1}{3}\rangle' - |\frac{1}{2}-\frac{1}{2}-\frac{1}{3}\rangle |\frac{1}{2}\frac{1}{2}\frac{1}{3}\rangle')$$